

九州大学 正員 山崎徳也

／ 学生員 後藤道之輔

／ 学生員 ○木下紀男

1. 序 着者らは前二報^(1,2)で複素変数法による有孔ばりの孔縁応力解析法を提示したが、これを用いれば未だ耐荷力が未知で十分なる安全度のもとに使用されているキャストレーテッドビームの孔縁応力概要に關して、一つの定量的データを与える。一方、キャストレーテッドビームのものも經濟的な設計とは、所要の荷高を有し、かつ素材の荷高を最小にする設計であり、したがて、最適孔形状とは、孔縁に発生する最大応力を使用材料許容応力以下とするところによりこの設計を可能とする孔形状であると言える。本論は、以上のことを考慮して複素変数法による六角形孔を有するキャストレーテッドビームの最適孔形状を論ずるものである。なお、荷重状態としては、スパン中央に集中荷重が作用する場合と、等分布荷重を満載する場合とを考へることとする。

2. 写像函数および孔縁応力式 図-1に示すように Z面上の原点に中心を有する隅を丸め六角形を Z面上の単位円に写像し、かつ六角形の外部を単位円の外部に写像する函数は、文献(1)によると A, B, C, ... を実数係数として次式で与えられる。

$$Z = A \zeta + \frac{B}{\zeta} + \frac{C}{\zeta^2} + \frac{D}{\zeta^3} + \frac{E}{\zeta^4} + \dots \quad (\text{有限}) \quad \dots (1)$$

式(1)中の係数について本論では 11 個の値 A ~ K を決定し、孔縁応力の計算には簡単のため 6 個の値 A ~ F を用いた。

式(1)の写像函数を用いて任意形孔をもつ I 型単純ばりがスパン中央に集中荷重をうける場合(図-2(a))の孔縁応力は次式で表される。

$$\left. J_0^2 \left[\frac{(O_B)_{b=0}}{PC - u Y_0 / I} \right] \right| = - \frac{A}{I^2} \left[\frac{A}{Y_0} (B_1 \sin \beta + B_3 \sin 3\beta + B_5 \sin 5\beta + B_7 \sin 7\beta + B_9 \sin 9\beta + B_{11} \sin 11\beta) \right. \\ \left. + \frac{1}{l Y_0} (B_2 \sin 2\beta + B_4 \sin 4\beta + B_6 \sin 6\beta + B_8 \sin 8\beta + B_{10} \sin 10\beta + B_{12} \sin 12\beta) \right] \dots (2)$$

ここに $(O_B)_{b=0}$ は前要の孔縁応力で Y_0 : 長さの次元をもつ一定量, l : 1/2スパン, U : スパン中央より孔中心までの距離, I : もとの孔がない I 型ばりの断面二次モーメント, B_1, B_3, \dots, J_0^2 は文献(1)参照。

また、満載等分布荷重をうける場合(図-2(b))には孔縁応力は次式となる。

$$\left. J_0^2 \left[\frac{(O_B)_{b=0}}{8Y_0^3 / I} \right] \right| = \frac{A}{I^2} \left(\frac{C^*}{Y_0} \right)^3 (A_0 + B_2 \cos 2\beta + B_4 \cos 4\beta + B_6 \cos 6\beta + B_8 \cos 8\beta + B_{10} \cos 10\beta) \\ + \frac{A}{60} \left(\frac{U}{Y_0} \right) \left(\frac{C^*}{Y_0} \right)^2 (A_2 \sin 2\beta + A_4 \sin 4\beta + A_6 \sin 6\beta + A_8 \sin 8\beta) \\ + \frac{A}{60} \left(\frac{l}{Y_0} \right) \left(\frac{C^*}{Y_0} \right)^2 (A_1 \sin \beta + A_3 \sin 3\beta + A_5 \sin 5\beta + A_7 \sin 7\beta + A_9 \sin 9\beta + A_{11} \sin 11\beta) \dots (3)$$

ここに C^* は $C^{*2} = R^2 (1 + 2bt_0 / t_0h)$ で与えられるので、 $A_0, A_1, \dots, B_2, B_4, \dots$ は文献(2)参照。

3. 計算例および考察 六角形孔の形状は傾斜辺の角度 θ および孔の高さと幅の比 $n = d/w$ によって規定されるため、これらの変化による孔縁応力の変動は特性を知るために広範囲にわたる θ と n の組合せについて応力を計算しなければならない。しかし、ここではよく用いらしてある正六角形孔($\theta = 60^\circ, n = \sqrt{3}/2$)を中心として、 $\theta = 50^\circ \sim 70^\circ$ (1°刻み), $n = 0.5 \sim 1.0$ (0.05刻み)の範囲で孔縁応力を算定し、孔縁応力の分布例として正六角形孔の場合を中央集中荷重については図-3に、満載等分布荷重については図-4に示した。孔縁の最大応力 $[(O_B)_{b=0}]_{max}$ を各孔の位置について θ, n を変数としてプロットすれば、中や集中

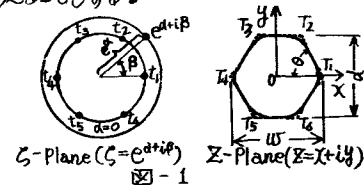
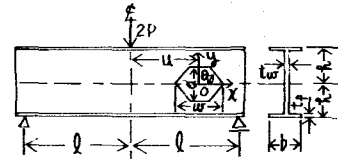
图-1 C-Plane ($C = e^{a+ib}$) Z-Plane ($Z = x + iy$)

图-2(a)

图-2(b)

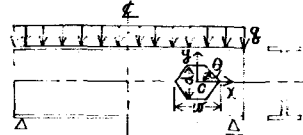


图-3

荷重の場合には図-5～図-7、満載等分布荷重の場合には図-8～図-10のようになる。なお、隅半径は $R = r/\omega = 0.06$ とし、スパンや断面に関して $L/R = 35$ 、 $r/\omega = 0.866$ 、 $b t_0 / t_0 \omega = 4.575$ を用いた。

(1) 中央集中荷重の場合 図-3および図-5～図-7より容易に判別されるように、 U/l の値すなわち孔の位置の如何にかかわらず、孔縁の応力分布および最大孔縁応力は同一傾向を示すゆえ、 $U/l = 0.52$ すなわち曲げモーメントおよびせん断力が一般的に作用する場合について考察を述べる。

i) 孔縁応力の分布状態として孔のはば平行辺部分 ($\beta = 50^\circ \sim 130^\circ$) に圧縮応力が、傾斜辺部分 ($\beta = 0^\circ \sim 50^\circ, 130^\circ \sim 180^\circ$) に引張応力が発生する。

ii) 引張応力の最大値は、圧縮応力のそれよりも常に大きい。よって、最適孔形状決定には考慮する必要はない。

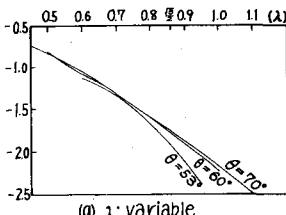
iii) 問題となる圧縮応力の最大値は θ が大きく、入が小さいほど小さくなる値となる。この場合、 θ の最大値における影響が、 $\theta = 60^\circ$ から 70° の変化に対して数%と極めて小さなものであるのに比べて、入の影響は l 値の増減の割合とほぼ等しいほどに大きいものである。

(2) 満載等分布荷重の場合 図-4および図-8～図-10を参考すれば、中央集中荷重の場合と異って、孔縁の応力分布および孔縁の最大応力は U/l の値すなわち孔の位置により大きな差異を生ずることが認められる。したがつて、各 U/l の値について考察を述べることとする。

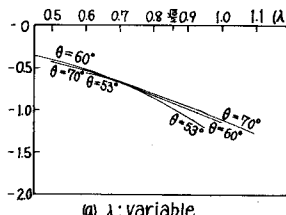
(a) $U/l = 0$: 曲げモーメントのみが作用する荷重場に孔がある場合

i) 孔縁の応力分布は $\beta = 90^\circ$ に関して完全な対称性を呈し、圧縮応力および引張応力の生ずる位置は、中央集中荷重の場合とほぼ同様である。

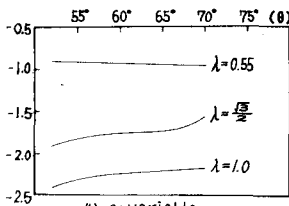
ii) 引張応力の最大値は、圧縮応力のそれに比較して常に小さく $1/4$ 前後



(a) λ : variable

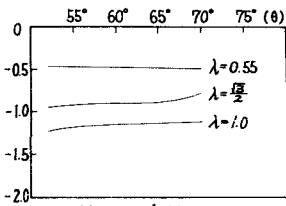


(a) λ : variable



(b) θ : variable

図-5 $U/l = 0.04$ (中央集中荷重の場合)



(b) θ : variable

図-6 $U/l = 0.52$ (中央集中荷重の場合)

<図-5～図-7の縦座標は $[\sigma_{0000}]_{max} / [P(l-U)y_0 / I]$ >

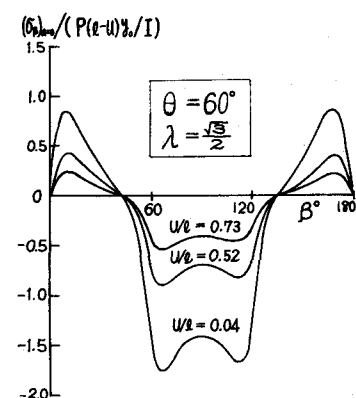


図-3 中央集中荷重の場合

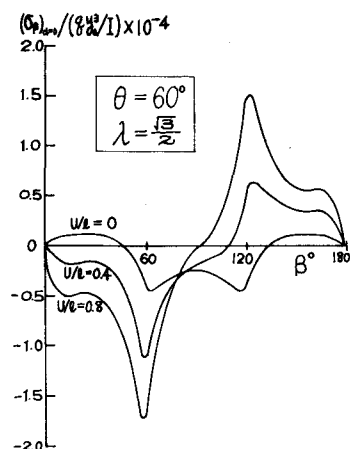
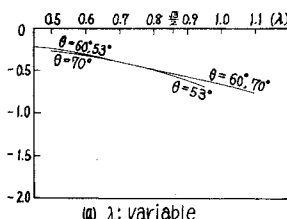
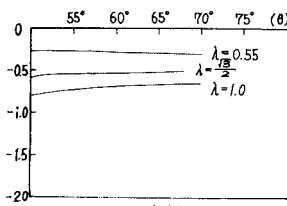


図-4 満載等分布荷重の場合

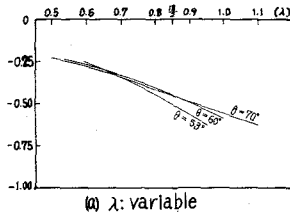
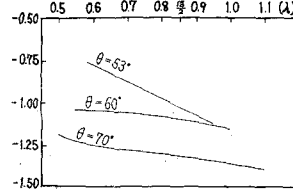
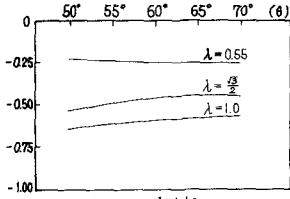
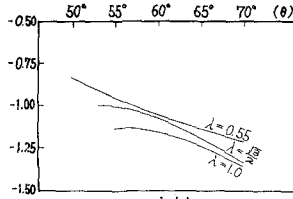
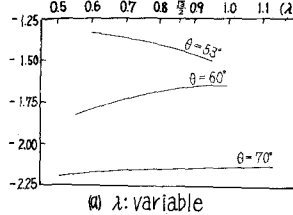
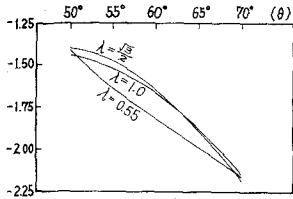


(a) λ : variable



(b) θ : variable

図-7 $U/l = 0.73$ (中央集中荷重の場合)

(a) λ : variable(b) θ : variable(a) λ : variable(b) θ : variable図-8 $U/l=0$ (満載等分布荷重の場合)図-9 $U/l=0.4$ (過載等分布荷重の場合)(a) λ : variable(b) θ : variable図-10 $U/l=0.8$ (満載等分布荷重の場合)<図-8～図-10の縦座標は $[(5p_{\theta=0})_{\max} / (8g_0^3 / I)] \times 10^{-4}$ >

の値である。したがって中央集中荷重の場合と同様に最適孔形状決定の際に考慮しておくといい。

iii) θ の最大圧縮応力に及ぼす影響は極めて小さい。因みに、 $\theta = 70^\circ$ では $\theta = 60^\circ$ のときと比べて数%の減少を示し、 $\theta = 50^\circ$ では 10%前後の増加を示すにすぎない。iv) λ に関してはその影響はかなり大きく、 $\lambda = 1.0$ のとき $\lambda = \sqrt{3}/2$ の場合より 25~30%の増加を示し、 $\lambda = 0.55$ では 50%の減少を示す。(b) $U/l = 0.4$: 曲げモーメントおよびせん断力が一般的に作用する荷重場に孔が存在する場合

- i) 孔の応力分布は $\beta = 0^\circ \sim 110^\circ$ で圧縮、 $\beta = 110^\circ \sim 180^\circ$ で引張の状態となる。
- ii) 引張応力の最大値は圧縮応力のそれと比べて小さいが、その割合は $U/l = 0$ のときよりも大きい。
- iii) 圧縮応力の最大値は θ が小さいほど大きいとなるが、その変化は $U/l = 0$ の場合よりも大きく、 θ が 60° から 70° に増加するにしたがい、最大応力は 20%程度の増加を示す。
- iv) 入力最大圧縮応力に及ぼす影響は、 $U/l = 0$ のときよりもかなり小さい。

(c) $U/l = 0.8$: せん断力が卓越する荷重場に孔が存在する場合

- i) 孔の応力分布は $\beta = 90^\circ$ 近傍に近づくほど逆対称で $\beta < 90^\circ$ では圧縮応力が $\beta > 90^\circ$ では引張応力が発生する。
- ii) 孔応力の最大値は $U/l = 0$ および $U/l = 0.4$ のときと異って圧縮応力のそれとほぼ同一傾向を示す。
- iii) θ が最大圧縮応力に及ぼす影響は $U/l = 0$, $U/l = 0.4$ のときに比べてもともも顕著であり、 θ が 60° から 70° に変化するにに対して圧縮応力の最大値は 20~30%の増加を示す。
- iv) λ に関しては、その影響は $U/l = 0$ のときおよび $U/l = 0.4$ のときと比較してほとんど小さい。

以上 (a) (b) (c) の考察より次のことがいえる。

i) U/l が 0 より 0.8 にすこしめら孔の位置がスパン中央より支点に近づくにしたがって最大孔応力の値は大きくなり、また孔がスパン中央部にあるとき圧縮応力に比べて小さい引張応力も孔が支点に近づくとともに大きくなる(ただし圧縮応力とほぼ同じ大きさとなる)。

ii) 傾斜刃の角度 θ の最大圧縮応力に及ぼす影響は、孔が支点に近づくとともに顕著となる。したがって曲げモーメントが卓越するジスキャストレーテッド・ビームにおいては θ の大きさは比較的自由にとれるが、せん断力が

卓越する場合には、 θ が小さいほど応力集中を小さくすることができる。

iii) 孔の高さと幅の比の影響は、孔が支点に近くにつれて小さなものとなる。よって曲げモーメントが卓越するごときキャストレーディング・ビームでは、孔が小さいほど有利であるが、せん断力が卓越する場合には比較的自由に選べる。

4. 最適孔形状の決定について 上記の考察より $\theta = 50^\circ \sim 70^\circ$, $\lambda = 0.5 \sim 1.0$ の範囲で、孔縁応力の特性をほぼ知ることができる。また孔形状が正六角形に近い場合には、本論にとりあげた三つの代表的な荷重場について孔形状の有利・不利を論ずることができる。

序文に述べたごとく、最適孔形状として選ばれるものは、限りの原材で済む、換言すれば孔縁に発生する最大応力を使用材の許容応力で抑える最大の λ をうることのできるものであるが、孔縁の最大応力は荷重状態および桁高によって異なることから、あらゆる場合に適応しうる最適孔形状は一概に決定されるものではなく、それから荷重状態や桁高に応じて適宜決定されねばならない。この便宣のために、計算範囲をさらに拡張して次のグラフを準備しておけば、各荷重状態に応じて理論的にもともと有利な孔形状をうることができる。

すなはち、必要な原材の桁高 λ と切込み深さ λ_0 とを同時に見出すために、 λ_0/λ と横軸にし、 θ を助変数として最大孔縁応力の無次元値をプロットしたものがそれである（例えば図-11）。このグラフにおいて縦軸の最大孔縁応力を、使用材の許容応力 σ_{sa} を式(4)で無次元化した値 σ_{sa}^* で抑えれば、最小の λ_0/λ 、すなはち原材の桁高が最もいくつ切込み深さのものと大きな値をもつる助変数 θ を見出すことができる。

$$\sigma_{sa}^* = \begin{cases} \text{中央集中荷重の場合} & \frac{\sigma_{sa}}{P(l-w)\lambda_0/I} \\ \text{満載等分荷重の場合} & \frac{\sigma_{sa}}{\frac{w}{2}g^2/I} \end{cases} \quad \dots \dots (4)$$

なお λ_0/λ は各入に応じて次式(5)で計算される。（図-12参照）

$$\frac{\lambda_0}{\lambda} = \frac{w}{\lambda} - \frac{1}{2}w \quad \dots \dots \dots (5)$$

ここに、 w : 所要の桁高

5. 結語 本論から知るに、最適孔形状は荷重状態と所要の桁高によって決まる相対的な性格をもつものである。実際には孔の高さは最初から与えられている場合が多く、最適孔形状に関する問題は、傾斜刃の角度をいかに選ぶかという問題に解消されているが、本論はこの問題にも正しい解答を与えるものである。

なお、次の課題としていかげる所要の桁高にも応ずることができ、かつ隣接孔の影響を考慮した孔縁応力式の改良が考えられ、これについては目下研究進行中で後日発表の予定である。最後に、本研究には文部省科学研究費の補助をうけ、数值計算には本学電子計算機 OKITAC-5010H によつてこひを付記する。

参考文献

- 1) 山崎・後藤・川島：非正六角形孔を有する I 型単純ばかりの孔縁応力、第23回土木学会年次学術講演会講演概要、昭和43年10月。

- 2) 山崎・後藤・川島：非正八角形孔を有する I 型ばかりの孔縁応力、昭和43年度土木学会西部支部研究発表会論文集、昭和44年2月。

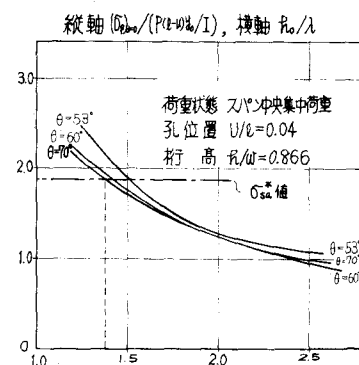
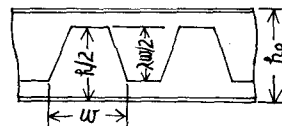


図-11 最も有利な λ_0/λ , θ をうる例



$$\lambda_0 = \lambda_0 + \lambda w / 2$$

図-12 所要桁高と原材桁高との関係